

## DESENVOLVIMENTO DE MICROCÉLULA ELETROQUÍMICA PARA ESTUDOS DE MICRORREGIÕES

Adriano Heleno Akita, José Tiago Claudino Barragan, Cecílio Sadao Fugivara e Assis Vicente Benedetti\*

Departamento de Físico-Química, Instituto de Química, Universidade Estadual Paulista Julio Mesquita Filho, CP 355, 14801-970 Araraquara – SP, Brasil

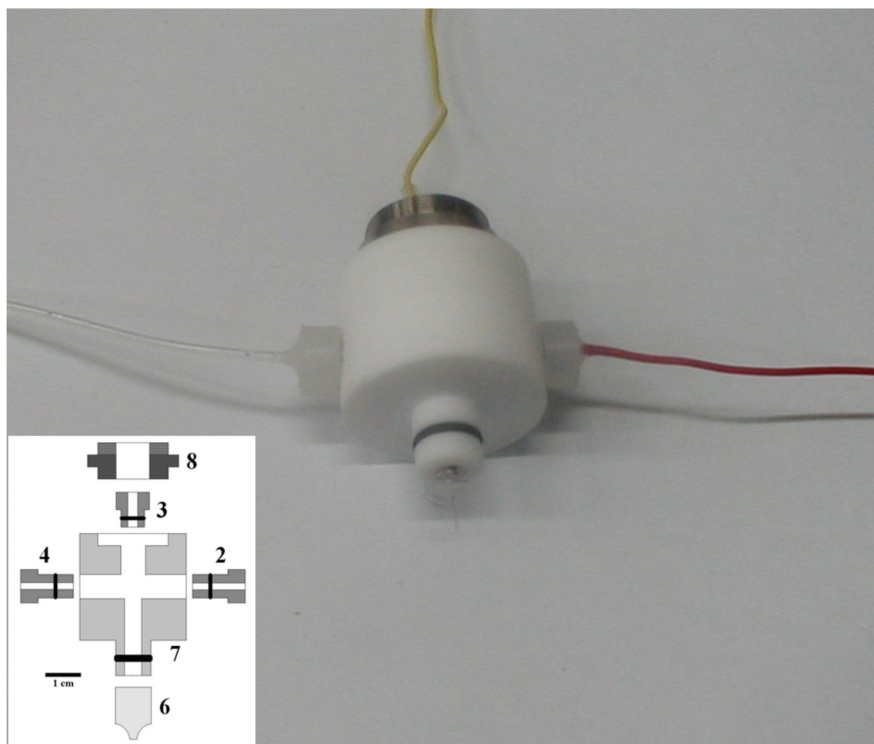


Figura 1S. Montagem da microcélula com o esquema de conexão dos componentes e a microcélula após a conexão

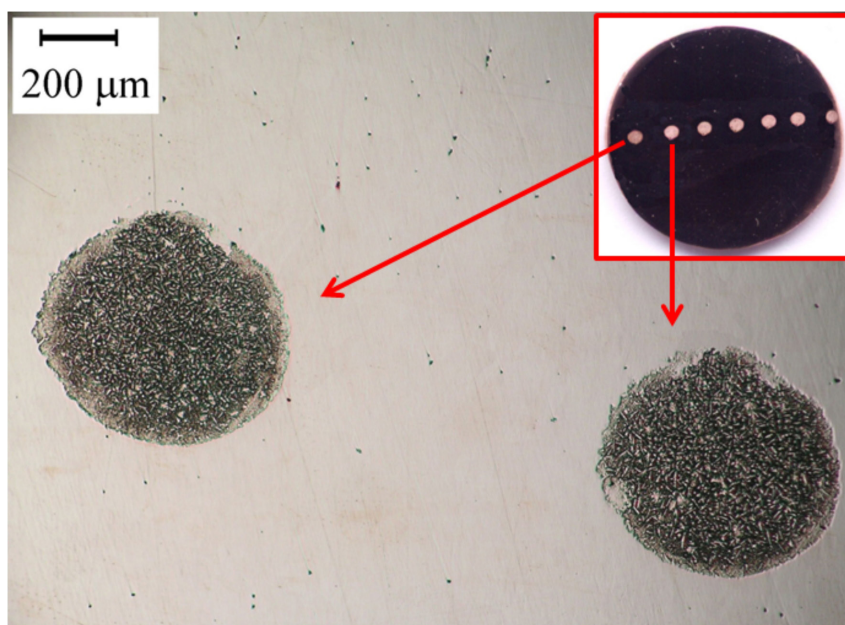


Figura 2S. Micrografias ópticas mostrando a área delimitada pela ponteira<sup>4</sup>

\*e-mail: benedeti@iq.unesp.br

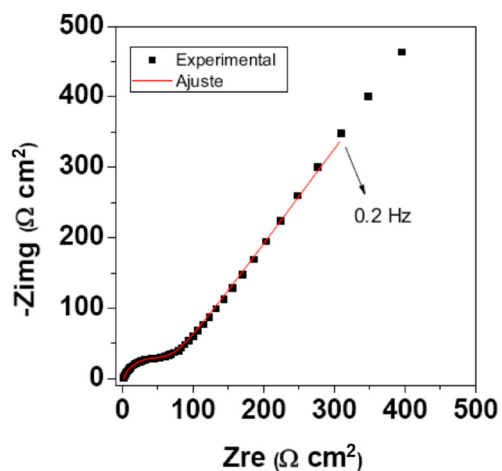


Figura 3S. Diagrama no plano complexo da microcélula para eletrodo de platina em solução equimolar  $1 \times 10^{-3} \text{ mol L}^{-1}$  de ferricianeto/ferrrocianeto de potássio preparada em KCl  $0,5 \text{ mol L}^{-1}$ . Amplitude  $10 \text{ mV (rms)}$  e 10 pontos/década de frequência<sup>28</sup>

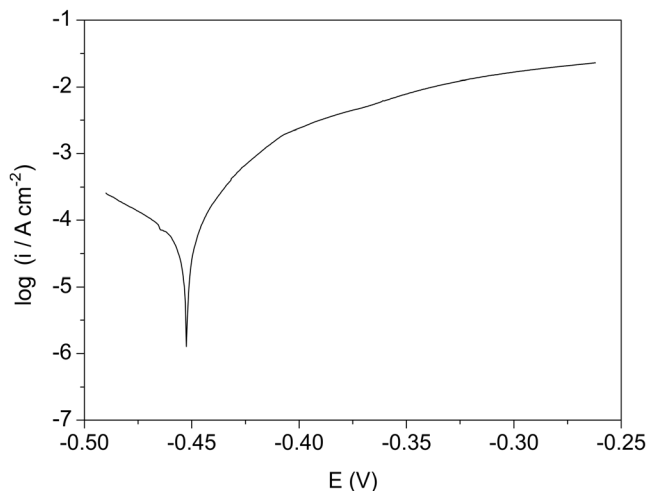


Figura 5S. Curva de polarização do aço SAE 1045 obtida em NaCl  $0,6 \text{ mol L}^{-1}$  com velocidade varredura do potencial de  $0,2 \text{ mV s}^{-1}$  a  $25^\circ\text{C}$

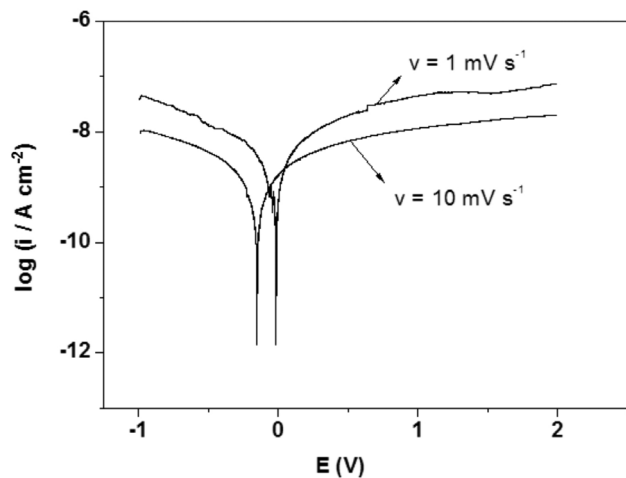


Figura 4S. Curvas de polarização para aço carbono obtidas em biodiesel sem adição intencional de eletrólito de suporte e sem correção de queda ôhmica